

DOI:10.11918/201906053

一种变邻域搜索与人耳掩蔽音乐生成方法

梅林,肖兆雄,沙学军

(哈尔滨工业大学 电子与信息工程学院,哈尔滨 150080)

摘要:本文提出了一种基于变邻域搜索与人耳掩蔽效应的音乐生成方法,以克服传统的作曲方法门槛过高、可重复性工作较多等缺点,并且相较于现有音乐生成模型具有操作直观、能够挖掘乐谱长时间内的连贯性等优点。训练阶段的输入选择易获得的时域波形文件,通过基于音高显著度的频率提取和基于掩蔽效应的时域分块获得乐谱,经过预先设定的音乐参数进行训练。生成阶段采取变邻域搜索与人工操作相结合的方式,通过对乐谱中音符进行增删、转调等操作按小节生成具有艺术性的乐谱,并根据操作者的偏好对乐谱进行人工修改与锁定。随后,以4小节为单位一次生成音乐片段,并组合成持续时间较长的一段音乐片段。最后在不同时间尺度完善乐谱,输出时域波形文件。整个流程可视化和人机交互的思想贯穿其中,能够充分调动音乐爱好者的积极性。同时本文提出了一种参数化乐音模拟的方法用于修饰乐谱或生成全新的音色,可根据乐器的分类方法或人的发声过程,通过声源激励与共振腔模拟两个部分参数化模拟乐器与人声。

关键词:音乐生成;变邻域搜索;掩蔽效应;人机交互;音高显著度;乐音模拟

中图分类号: TN912 文献标志码: A 文章编号: 0367-6234(2020)05-0001-08

A music generation method based on variable neighborhood search and masking effect

MEI Lin, XIAO Zhaoxiong, SHA Xuejun

(School of Electronics and Information Engineering, Harbin Institute of Technology, Harbin 150080, China)

Abstract: A music generation method based on variable neighborhood search and masking effect was proposed to overcome the shortcomings of traditional composing methods, such as high threshold and repeatable work. Compared with the existing music generation model, the proposed method is intuitive to operate and can excavate the consistency of music scores over a long period of time. In the training stage, the time domain waveform files were chosen as the input, which were easy to acquire. The music score was obtained by frequency extraction based on pitch significance and time domain block based on masking effect, and the music parameters were pre-set for training. In the generation stage, the method of combining variable neighborhood search with manual operation was adopted. By adding, deleting, and changing the notes in the music score, the artistic music score was generated according to the section, and the music score was manually modified and locked according to the preference of the operator. Then, the music segments were generated in four sections at a time and combined into a long-lasting music segment. Finally, the music score was perfected at different time scales, and the time domain waveform file was output. The idea of visualization and human-computer interaction throughout the whole process could fully mobilize the enthusiasm of music enthusiasts. Besides, a parametric musical instruments simulation method is proposed to modify the music score or generate a new timbre, in which two parts of parametric simulation of musical instruments and human voice can be carried out through sound source excitation and resonant cavity simulation according to the classification of musical instruments or the process of human voice production.

Keywords: music generation; variable neighborhood search; masking effect; human-computer interaction; pitch significance; musical instruments simulation

音乐在日常生活中扮演着独特角色,人们利用音乐或释放压力、表达情感、寻求共鸣,或尽情享受音乐带来的美的体验。随着生活水平的不断提高,只要稍加练习,普通人也能演唱或弹奏出优美的旋律,

但相比之下作曲的门槛显然更高。编写一首乐曲往往分为旋律、风格、速度、调性与结构、和声与乐器等部分^[1],而且乐曲的各个部分不是完全正交,而是相互关联的,例如一首歌的旋律往往决定了它的风格,而风格又在一定程度上影响了速度;乐句往往是小节的重复或变体等。因此在过去作曲属于少数有天赋的人的工作,同时编写一首好的乐曲也得益于作曲家的丰富经验。

收稿日期: 2019-07-07

作者简介: 梅林(1982—),男,副教授,硕士生导师;
沙学军(1966—),男,教授,博士生导师

通信作者: 梅林,meilin@hit.edu.cn

随着计算机技术的发展,研究人员试图从两个角度利用计算机帮助作曲:一方面,协助有经验的作曲家,完成一部分繁琐的可重复性工作,使其专注于创造性的艺术;另一方面,使普通人也能够从轻松谱写简单的乐曲开始,一步步培养人们作曲的能力与对音乐的兴趣,使人们更加了解谱曲背后的原理,从而为作曲领域提供更多可能。本文着重研究的是无需或仅需少量专业知识的基于计算智能的音乐生成方法。伴随着音乐市场的迅猛发展,作曲的专业方法与水平也在迅速攀升,基于变邻域搜索与掩蔽效应的音乐生成方法能深度挖掘乐谱的潜能,通过人机交互充分调动音乐爱好者,尤其是青少年对音乐创作的积极性。

1 音乐生成领域研究概况

1.1 研究概况

从 1959 年 Hiller 与 Isaacson 首次在电子计算机上编写音乐生成算法^[2]开始,人们一直尝试利用计算机代替或协助操作者完成作曲工作。音乐生成算法大致包含两大类别:传统算法与机器学习算法。传统算法往往通过对音乐数据的特征提取建立数学模型将音乐参数化^[3],或使用音乐编曲规则建立网络结构并填充先验知识库进行建模^[4];机器学习算法往往使用 MIDI 格式文件,通过构建神经网络,如递归神经网络(Recurrent Neural Network, RNN)、卷积神经网络(Convolutional Neural Network, CNN)、长短时记忆(long Short Term Memory, LSTM)网络等对音乐进行训练^[5-10],随后通过随机初始化参数的方法生成音乐。

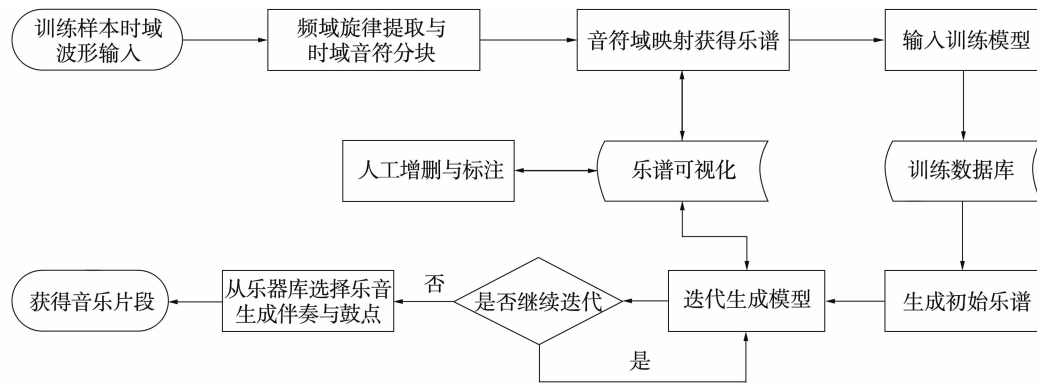


图 1 本文音乐生成系统结构

Fig. 1 Structure of the music generation system

2 训练阶段

2.1 训练输入与预处理

输入音乐训练阶段的输入 $x(t)$, 它以 4 个小节为单位, 可以是一段乐器的独奏, 也可以是一段人声

尽管基于机器学习方法的音乐生成算法种类丰富, 并且充分利用的模型或网络的计算性能, 但仍存在以下问题:

1) 训练样本基本采用 MIDI 格式的音乐文件, 该格式的音乐文件数据量小, 易操作, 但其音乐形式往往较为陈旧, 无法体现音乐的流行性;

2) 现有的基于机器学习的音乐生成系统网络往往移植于在自然语言处理或图像处理取得成效的网络, 几乎不存在为音乐信号专门设计的神经网络结构。因此无论是系统的输入输出还是参数调节都存在着一定的局限性;

3) 绝大多数的音乐生成模型在生成阶段采用的是白噪声信号作为输入, 不符合一般的作曲规律;

4) 生成出的音乐样本往往在长时间范围内不具备和谐性, 且一般只有一种乐器, 音乐形式较为单调。

1.2 本文所采用的方法流程

本文设计以下结构用作音乐生成, 如图 1 所示。输入阶段为时域音乐波形, 经过基于音高显著度的旋律提取与基于人耳掩蔽效应的时域音符分块后映射到音符域以便人为调整, 随后输入训练模型中获得动态范围、二次折叠基音等训练数据。在生成阶段使用基于变邻域搜索的音乐生成算法迭代生成乐谱, 最后从乐器库中选择乐器完成音乐片段的制作。整个过程从输入到输出都可以生成乐谱与时域波形文件以便人工增删与标注, 人机交互的思想贯穿其中, 有助于充分调动操作者的积极性。下面分为训练阶段、生成阶段与乐音模拟三个部分对整个系统做介绍。

哼唱。在后续的处理中将对 $x(t)$ 重新定位, 音符起始位置位于 $t = 0$ 处。

对训练阶段的输入 $x(t)$ 进行基于音高显著度与人耳掩蔽效应的旋律分析, 将输入划分为小段进行傅立叶变换(本文取 2 048 点, 重叠为 1/2)获得

频谱 $F_i(a, f)$, 根据乐理知识对频谱做带通频率截取(本文选择 50 ~ 1 000 Hz 范围寻找基频)以减少计算量. 对频域幅值 $\hat{F}_i(a, f)$ 进行基于音高显著度的基频提取获得旋律线 $f(i)$, i 为音符指示位, 对时域能量进行基于人耳掩蔽效应的音符切割, 音符切割指示位 $b(i) = 1$ 时保留音符, $b(i) = 0$ 时丢弃音符, 二者综合初步获得训练或生成所需的音乐乐谱 $E(i)$. 本文设定以 4 分音符为一拍, 每小节有 4 拍, 共 4 个小节以 16 分音符为最小单位, 因此最大音符数 $i_{\max} = 4 \times 4 \times (16/4) = 64$, 在音符的起始位置 $E(i) = f(i)$, 跟随位置 $E(i) = 1$, 空闲位置 $E(i) = 0$, 并映射到图表中进行可视化展示. 图表 $C_{\text{cell}}(50, 64)$ 的第一行为标记符号, 若 $C_{\text{cell}}(1, i) = '1'$ 则被标记的音符在接下来的迭代中将被固定, 余下 49 行依照 12 平均率跨越 C4 到 C8 共 4 个 8 度(每个 8 度内有 C, C#, D, D#, E, F, F#, G, G#, A, A#, B 共 12 个音符), 在音符的起始位置 $C_{\text{cell}}(n, i) = '1'$, 在音符的持续位置 $C_{\text{cell}}(n, i) = '0'$, 其余位置 $C_{\text{cell}}(n, i) = ''$, 即为空. 这样定义的图表可以直观的表现乐谱的变化, 同时通过人工标注, 也可轻松解决无法分辨一个长时间持续的音是否是几个连续短促的音的问题.

为调动操作者的积极性与创造力, 本文所述方法有意对频谱进行模糊处理. 降低部分基频提取算法的复杂度, 并采用余弦加权算法, 帧内加权算法为

$$\frac{f(j)w(j)}{\sum w(j)}. \quad (1)$$

式中: $w(j) = 1 - \cos(2\pi \times j/(n+1))$, $j = [1, n]$, n 为该音符持续帧数. 随后频率映射到音符域, 每倍频分 12 块 $N_i = 12 \times \log_2(f(i)/440) + 57$ 并进行可视化处理. 随后将计算音乐片段的速度, 表示方式为节拍每分钟(B_{bpm}), $B_{\text{bpm}} = 16/(L * 1 024/44 100/60)$, B_{bpm} 作为乐曲的重要参数将显示在界面上并可随时手动调整. 这样操作后的乐谱在音符接续出将出现部分断点与频率不准的情况, 在训练

$$N_{\text{data4} \times 7} = \begin{bmatrix} N_{\text{count}} & N_{\text{free}} & N_{\text{range}} & N_{\text{dyna4N}, 1} & N_{\text{max4N}, 1} & N_{\text{min4N}, 1} & N_{\text{base4N}, 1} \\ N_{\text{base}} & N_{\text{dyna}} & N_{\text{dynaE}} & N_{\text{dyna4N}, 2} & N_{\text{max4N}, 2} & N_{\text{min4N}, 2} & N_{\text{base4N}, 2} \\ N_{\text{notenum}} & N_{\text{max}} & N_{\text{speed}} & N_{\text{dyna4N}, 3} & N_{\text{max4N}, 3} & N_{\text{min4N}, 3} & N_{\text{base4N}, 3} \\ N_{\text{dura}} & N_{\text{min}} & N_{\text{rich}} & N_{\text{dyna4N}, 4} & N_{\text{max4N}, 4} & N_{\text{min4N}, 4} & N_{\text{base4N}, 4} \end{bmatrix}. \quad (2)$$

表 1 训练用乐谱参数

Tab. 1 Parameters of music score for training

参数名	1	2	3	4	5	6	7
1	记数符	空闲时间	音符幅度	二次折叠动态 1	二次折叠最高音 1	二次折叠最低音 1	二次折叠基音 1
2	基音	动态	平均动态	二次折叠动态 2	二次折叠最高音 2	二次折叠最低音 2	二次折叠基音 2
3	音符数	最高音	音符平均间隔	二次折叠动态 3	二次折叠最高音 3	二次折叠最低音 3	二次折叠基音 3
4	音符平均持续时间	最低音	音符丰富度	二次折叠动态 4	二次折叠最高音 4	二次折叠最低音 4	二次折叠基音 4

之前, 可对获得的片段进行试听, 并根据个人喜好进行人工的增删与标注, 主动锻炼人们的乐感与想象力, 在 GUI 界面中添加音符的试听, 便于对音符的选择与校准. 本文选取国际歌开头部分(简谱 5 1 · 72 153 6- 4) 进行测试, 读取的 $B_{\text{bpm}} = 265.024$, 结果如图 2 所示.

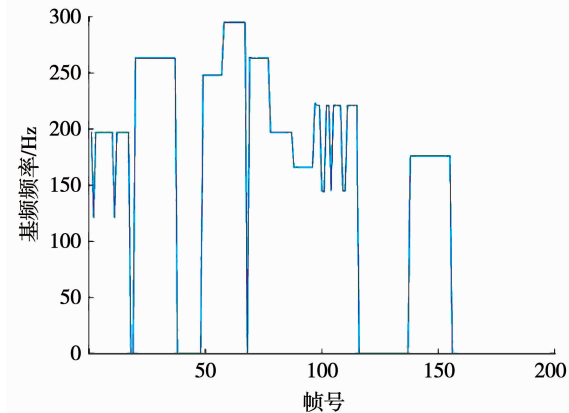


图 2 基于音高显著度的旋律检测示意

Fig. 2 Melody detection sketch based on pitch significance

由图可知该算法基本可准确检测旋律线, 但会偶尔出现旋律过低的情况, 可用简单的算法解决. 但使用本文的预先加权算法将会有意使其中两个音符的高度降低, 通过谱表可视化与试听即可手动在谱表中调整音高, 达到培养操作者的乐感的目的.

2.2 训练参数

基于现有的乐理知识, 本文将训练参数设置为式(2)所示, 式中第 1 项为记数符, 用于标示已训练样本的数量, 前 3 列为专业乐谱参数, 后 4 列为将乐谱进行两次折叠后获得的基本乐谱参数, 用于描述乐谱在较长时间内的连贯性与变化. 将频谱折叠后处理属于本文的试验性操作, 初步选取 4 个基本乐谱参数进行分析, 不至于使系统过于复杂. 具体参数名如表 1 所示.

以数个表中基本参数为例,基音为乐谱的第一个音,动态为音符的整体变化程度,丰富度为音符出现的数量,速度为音符间平均间隔。

以其中一个二次折叠参数为例,二次折叠动态 1 如式(3)所示:

$$N_{\text{dyna4N},1} = \sum (|\text{diff}(E_4(1,i))|). \quad (3)$$

式中 $E_4(1,i)$ 为将乐谱 $E(i)$ 二次折叠后的乐谱第一行,求导操作将跳过 $E(i)=0$ 的非音符点。在获取上述参数后,可继续添加训练样本。理论上添加风格不同的音乐会使训练用乐谱参数趋于二者平均值,因此可对训练结果进行加权,使整体的训练结果偏向一特定风格。此外上述参数也可作为评价标准对后续生成的音乐片段进行打分。

3 生成阶段

3.1 变邻域搜索算法

变邻域搜索算法属于具有通用算法构架的元启发式算法,这类算法一般用于求解 NP-难问题。变邻域搜索算法在寻找局部最优解的迭代过程中不断改变邻域,算法的核心在于邻域结构的定义。变邻域搜索算法在音乐生成领域的相关研究极少,但由于变邻域搜索算法的步骤与作曲工作中旋律的确定十分相似,且迭代终止条件可以与人工判别相结合,因此本文选择变邻域搜索算法作为音乐生成迭代算法。

在介绍变邻域搜索算法前,首先对优化问题及其相关定理进行说明。优化问题如下式定义:

$$\begin{aligned} & \min \{f_i(x)\} \\ \text{s. t. } & h_j(x) \leq b_j \end{aligned} \quad (4)$$

式中: $x \in F$, $F \subseteq S$; $i = 1, 2, \dots, m$; $j = 1, 2, \dots, n$; S 为解空间; F 为解集; x 为可行解; f_i 为目标函数; h_j 为约束条件函数。在音乐生成问题中, x 为音符位置, S 为有限空间,则音乐生成问题为组合优化问题。

在可行解集 F 内,任意解 x 与解 x' ($x' \neq x$) 之间的广义距离(记为 $D = |x - x'|$) 为解 x 的邻域结构,则解 x' 在解 x 的邻域结构 $D(x)$ 内。式中的广义距离可采用汉明距离或欧氏距离定义。对于任意解 x ,不同的邻域结构 $D_1 = |x - x'_1|$, $D_2 = |x - x'_2|$ 可能给出不同的局部最优解,因此邻域结构的定义与搜索方法是变邻域搜索算法的核心。对于组合优化问题,邻域结构集一般由部分邻域结构排序(如根据汉明距离升序排列)构成,在搜索过程中不断改变邻域结构 $D_i(x)$ 以逐步趋近局部最优解 x^* ,再基于 x^* 不断改变邻域结构 $D_i(x^*)$ 继续搜索局部最优解,循环往复,直到满足停止准则。

将变邻域搜索算法移植到音乐生成系统中,需

要改进的有以下部分:1) 邻域结构 $D(x)$ 需要根据乐理知识事先进行规定,效果近似于常规作曲时对乐谱的修改;2) 在迭代过程中,邻域结构 $D(x)$ 可人为进行改变,保证数个音符不发生变化;3) 目标函数的值取最小并不意味着旋律最动听,因此需要根据人耳试听辅助判断任意解 x 是否为局部最优解,或人工调整解的形式。

基于以上问题,本文提出的基于乐理知识的变邻域搜索算法做出了以下改进:1) 根据基本作曲知识将邻域结构转化为变邻域搜索操作,包含变调、删减音符与增加新音符三种;2) 在迭代过程中可人为锁定部分音符,改变邻域结构;3) 迭代停止条件由目标函数的计算与人工试听进行联合判决。

变邻域搜索算法流程如下:

- 1) 规定目标函数 f_i ,根据乐理知识设计 x 的邻域 $D(x)$,规定最大迭代次数 k_m 与每次迭代搜索操作;
- 2) 随机生成或人工输入初始值 x ;
- 3) 随机选取 $D(x)$ 内的 s 个点 x^1, x^2, x^s ,令满足 $f_i(x)$ 最小点为中心,并可以人为固定部分音符值,从而生成新的 $D(x)$;
- 4) 重复上述操作直至达到最大迭代次数或人工停止。

本文提出的基于乐理知识的变邻域搜索操作包含变调、删减音符与增加新音符三种,算法流程见图 3。每次迭代首先随机生成搜索长度 $R_{\text{randL}} = 2^n$, $n = 0, 1, 2$, 搜索起始位置 $R_{\text{randP}} \in [1, 64 - R_{\text{randL}} + 1]$, 与搜索操作 $R_{\text{randO}} = 1, 2, 3$, 其中 $R_{\text{randL}}, R_{\text{randP}}$ 共同表示邻域区间, $R_{\text{randO}} = 1, 2, 3$ 分别对应变调、删减音符与增加新音符 3 种操作。当任意待处理位置有 $C_{\text{cell}}(1, i) = '1'$, 即被锁定时,重新生成以上参数,随后依照训练参数表与 R_{randO} 对音乐片段进行处理,并计算参数矩阵 $K_{\text{dataC4} \times 7}$ 通过预先设定好的代价函数矩阵 $K_{\text{dataC4} \times 7}$ 计算得分:

$$S_{\text{Score}} = \sum (|K_{\text{dataG}} - K_{\text{dataN}}| \cdot K_{\text{dataC}}).$$

计算乐谱的变化程度后,对乐谱进行综合打分。例如动态越高说明音符更富于变化,代价函数得分越低说明与训练数据越接近。若此次搜索的结果在门限外,则再次重新生成 $R_{\text{randL}}, R_{\text{randP}}, R_{\text{randO}}$ 并重复以上操作直到满足条件为止。

乐谱的得分并不能完全反映音乐片段是否动听,只能从一定程度上约束乐谱的生成规律。例如一个乐谱动态范围很大,可能是旋律紧凑动人,也可能是音符杂乱无章的排列。若要保证每次迭代的代价函数得分变低,结果往往是一个或一段音符持续时间的删减。经过多次测试后,本文设计了一个得分门

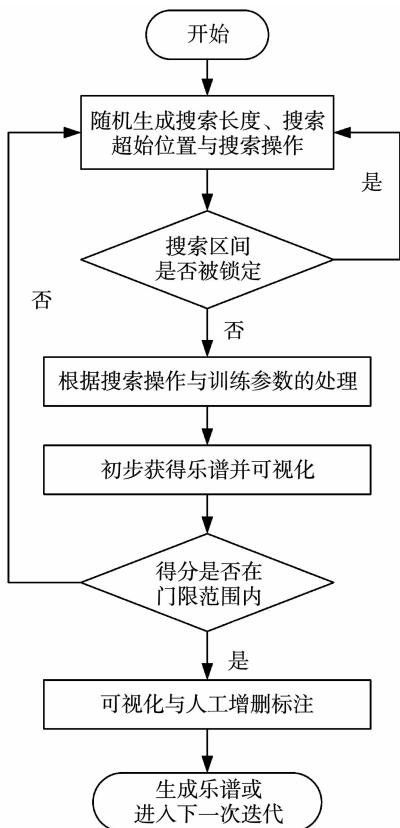


图3 变邻域搜索算法流程图

Fig. 3 Flow chart of variable neighborhood search algorithm

限(20%),虽然迭代后的乐谱可能代价函数得分变高,但如果在门限内则保留乐谱,即保证了乐谱不至于出现过多删减,同时也不会出现过于不和谐的音符。

迭代后的乐谱通过GUI界面进行可视化显示,操作者可通过试听判断乐谱中动听的部分并进行音符的增删与标记 $C_{cell}(n,i) = '1'$,若 $C_{cell}(n,i) = '1'$ 则在接下来的迭代中将跳过被标记的音符,随后重复上述步骤对乐谱进行迭代,计算机迭代与人工评价与处理交互进行,直至生成令人满意的乐谱 $G(i)$.

3.2 后期处理

生成音乐片段可保存为 wav 格式文件或表格文件,可用于后续的音乐生成或添加伴奏、修饰与调节速度等后期处理操作. 本文提供一种根据所生成乐谱的二次折叠信息 $G_4(j,i), i=1,\dots,16, j=1,\dots,4$

添加伴奏与鼓点的方法. 首先根据 $G_4(1,i), i=1,3,5,\dots,15$ 确定伴奏的音符起始位置与音高,再根据 $G_4(j,i)$ 的二次折叠动态参数对音高进行变调,最后根据 B_{bpm} 与 $G_4(j,i)$ 中音符出现的位置添加鼓点. 文中的主旋律、伴奏与鼓点均通过乐音模拟方法生成和选取.

4 乐音模拟

4.1 常见乐器的分析与分类

一种乐器的乐音一般由声源经过共振腔,再经过外部环境到达人耳. 本文对几种常见乐音模拟算法(基于物理模型的弦振动仿真、基于电声类比的共振腔模拟^[11]与基于二维数字波导的乐音合成^[12]等)进行分析与总结,以基于物理模型的弦振动仿真为例,可以用一个偏微分方程及其边界条件来描述音乐信号的时间序列:

$$\rho A \frac{\partial^2 y(x,t)}{\partial t^2} = T_0 \frac{\partial^2 y}{\partial x^2} + EI \frac{\partial^4 y}{\partial x^4} - d_1 \frac{\partial y}{\partial t} - d_3 \frac{\partial^3 y}{\partial t \partial x^2}. \quad (4)$$

式中: t 与 x 为时空坐标, $y(x,t)$ 为振动偏移量, E 为弹性模量, T_0 为弦两端的标称张力, ρ 为材料密度, A 为弦的横截面积, I 为惯性矩, d_1 为与时间相关的阻尼, d_3 为与频率相关的阻尼. 式(3)的边界条件为

$$y(0,t) = 0, y(L,t) = 0, \quad (5)$$

$$\frac{\partial^2 y(0,t)}{\partial x^2} = y''(0,t) = 0, \frac{\partial^2 y(L,t)}{\partial x^2} = y''(L,t) = 0. \quad (6)$$

忽略变换求解过程,其结果为基频与谐波的叠加. 以吉他尼龙弦为例,对模型进行仿真,仿真结果的时域信号幅值较小且呈指数衰减,与实际情况类似;其频域结果在基频与谐波出现了较为明显的峰值. 基于电声类比的共振腔模拟与基于二维数字波导的乐音合成等研究结果与上述结果类似,输出结果为频域共振峰图. 通过对常见乐器的频域幅值与时域包络的试听与分析,并结合上文的研究结果,将乐器分类为弦乐器、体乐器和混合乐器3种.

4.2 乐音参数化与模拟生成

本文将乐器的发声模式简化为图4所示结构.

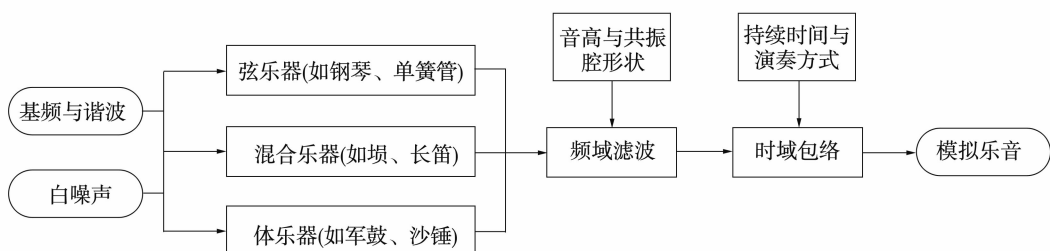
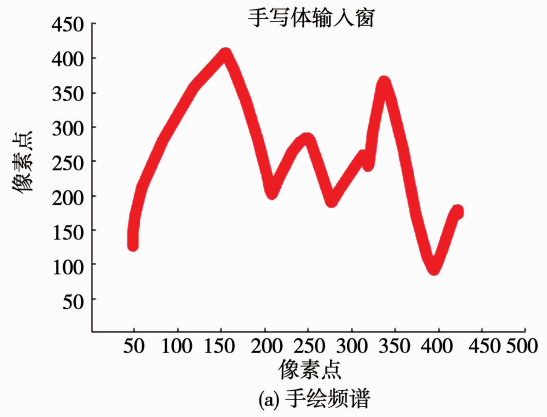


图4 模拟乐器发声结构

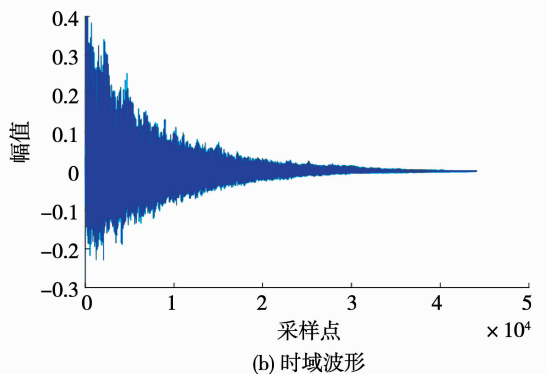
Fig. 4 Structure of instruments simulation

将乐音模拟分为激励源 S 、频谱 $F(a, f)$ 与时域包络 $A(b, t)$ 三部分。其中若激励源为白噪声(对应体乐器), 频谱 $F(a, f)$ 可用多个带通滤波器组表示, 若激励源为弦振动(对应弦乐器), 频谱 $F(a, f)$ 可与激励源加权混合表示。通过根据需求确定相关参数(音高、持续时间等), 并生成与现有乐器类似, 或全新音色的乐音。

乐器音色模拟一个简单的方法是通过手绘幅频曲线对弦各次谐波振动进行加权, 再通过一个表示演奏方式(如弹弦、拉弦等, 或通过手绘)的时域包络即可模拟部分弦乐器(钢琴、双簧管等)的音色。本文设计了一种通过跟踪鼠标拖动路线初步确定频率曲线, 并根据不同频率的声波在自由声场中的衰减(基于将声波分解为球谐函数叠加的思想)对曲线进行加权的弦乐音生成方法, 例如见图 5 所示的



(a) 手绘频谱



(b) 时域波形

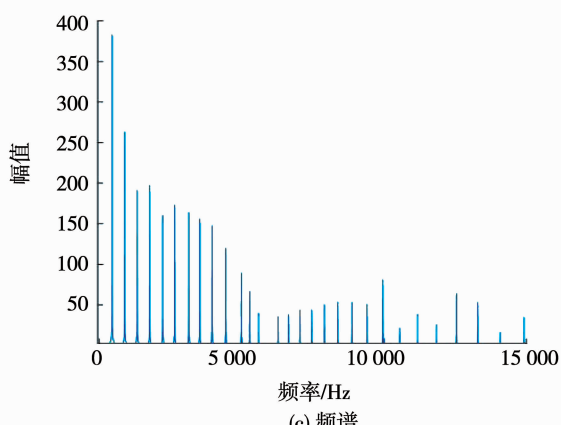


图 5 模拟乐音钢琴特征分析

Fig. 5 Characteristics analysis of the simulated piano sound

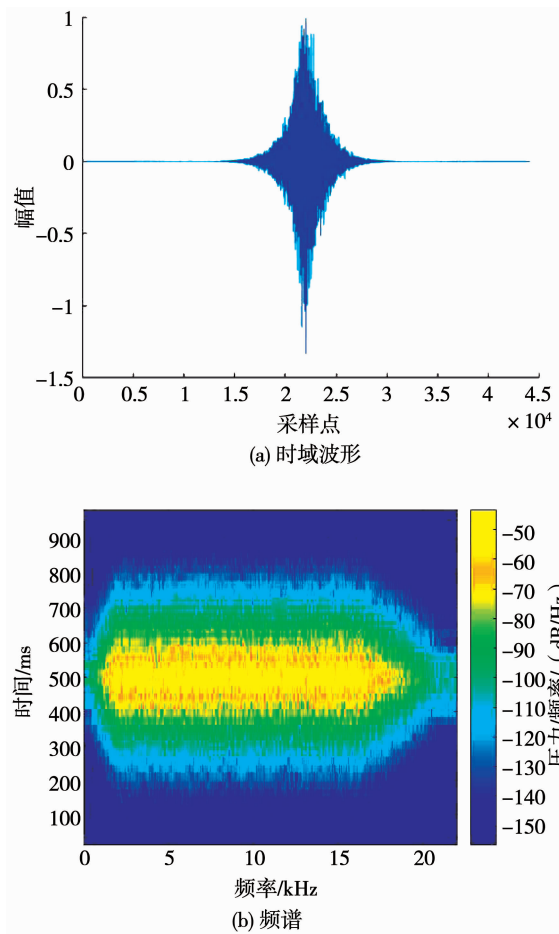


图 6 模拟乐音沙锤特征分析

Fig. 6 Characteristics analysis of the simulated sand hammer sound

模拟乐音钢琴。添加的时域包络为指数衰减的形式, 对应琴弦的弹拨。也可通过高斯白噪声加一阶低通滤波器或二阶带通滤波器可模拟部分体乐器(如沙锤、军鼓等)。该过程的模型可用于接下来的乐音试听、旋律添加乐器、伴奏和鼓点等操作, 例如图 6 所示的模拟乐音沙锤, 带通频率为 1 500 ~ 2 000 Hz, 衰减频率为 16 Hz, 18 000 Hz, 阻带衰减为 10 dB, 时域包络为指数上升与指数衰减生成的模拟乐音既可表示大部分传统乐器, 用少量参数即可模拟昂贵的专业乐器, 也可生成全新的时域波形, 营造截然不同的听音体验。本小节生成的模拟乐音将用于整个音乐训练与生成系统, 随时听取音乐片段并进行后期处理。

5 音乐生成系统测试

本次通过哼唱《致爱丽丝》的部分小节作为训练数据, 以《小星星》的前 7 个音符作为输入, 经过迭代与人工删改后生成的谱表如图 7 所示。图 8 是上述乐谱添加模拟乐音后的时域波形图, 动态上升了 18, 速度不变, 音符丰富度上升 1, 虽然代价函数

得分上升了 12.63%, 但仍在设置的门限范围内。该音频已具备一定艺术性, 与《小星星》的听感完全不同。图 9 是上述乐谱基于乐谱二次折叠参数添加伴奏与鼓点后的时域波形图, 相较于上述音频更加悦耳动听。

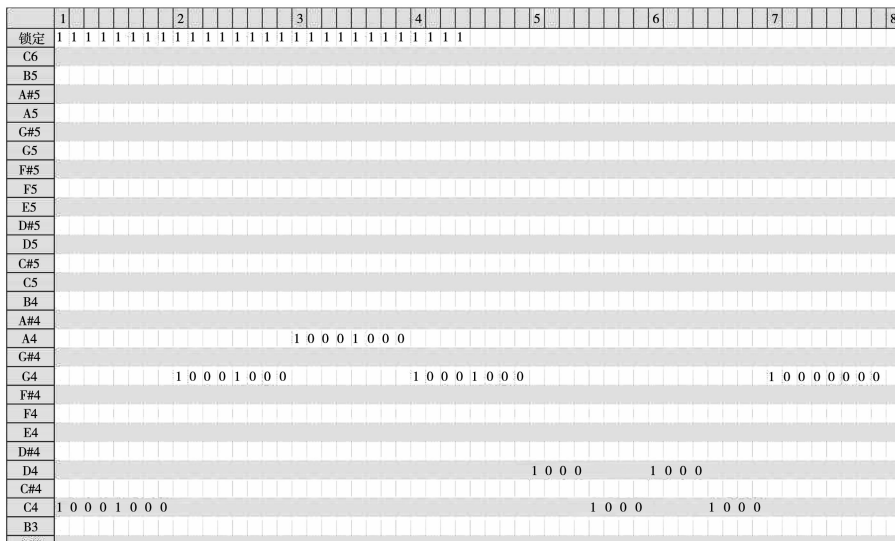


图 7 一次生成测试的乐谱可视化结果

Fig. 7 Visualization result of a generation test

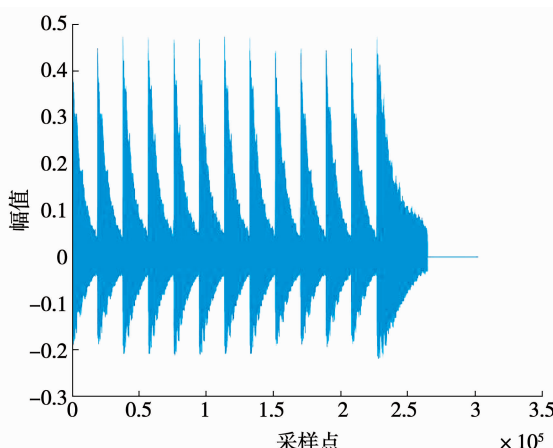


图 8 乐谱添加模拟乐音后的时域波形

Fig. 8 Time-domain waveform after adding simulated instrument to the music score

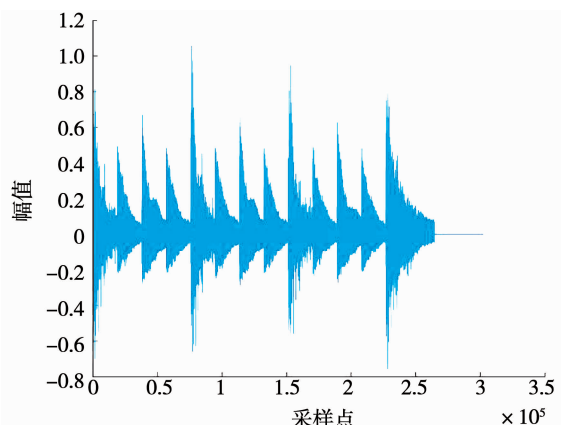


图 9 乐谱添加伴奏与鼓点后的时域波形

Fig. 9 Time-domain waveform after adding accompaniment and drums to the music score

奏与鼓点后的时域波形图, 相较于上述音频更加悦耳动听。

与传统组合优化问题不同, 由于生成的音乐片段具有一定艺术性, 客观评价指标只能作为音乐生成的指导, 客观评价指标得分高并不代表音乐片段悦耳动听, 因此不能完全使用客观评价指标对生成结果进行评价, 主观听感应作为音乐片段好坏的主要评价标准。通过对近年来提出音乐生成方法所提供的部分片段进行试听比较^[13-21], 得益于生成阶段的人机交互, 本文提供的方法所生成片段更为动听, 此外训练与生成过程也更为直观新颖, 便于操作。

本系统可以从易获得的时域音频文件出发, 通过较少的操作和较短的时间获得具有艺术感的音乐片段, 能够直观地体验音乐的创作过程, 利于充分调动音乐爱好者, 特别是青少年的对音乐的热情, 并能够通过预先设定的参数与乐器选择, 进一步丰富音乐片段。但每次生成的持续时间较短, 一般为 4~10 s.

6 结 论

传统的作曲由于需要大量乐理知识与听音经验, 普通的音乐爱好者很难参与其中。本文所述方法克服了传统作曲门槛过高、可重复工作量大等缺点, 以及难以获得大量专业乐器音色的缺陷, 提供了一种基于变邻域搜索与掩蔽效应的音乐生成方法, 即让普通的音乐爱好者也能参与到作曲中, 同时也能通过人机交互的方式充分调动音乐爱好者, 尤其是青少年对音乐的积极性, 并使其投入其中。此外, 基于频域幅值与时域包络的乐音模拟算法也克服了大量乐器难以获得的缺陷, 反之也可为乐器设计与校

准提供参考。

参考文献

- [1] SCHOENBERG A, STRANG G, STEIN L. Fundamentals of musical composition [M]. London: Faber & Faber, 1967: 233
- [2] HILLER L, ISAACSON L. Experimental music: Composition with an electronic computer [M]. New York, NY, USA: McGraw-Hill, 1959: 36
- [3] 郭衡泽, 汪镭. 交互式遗传算法智能作曲系统设计 [J]. 微型电脑应用, 2017, 33(2): 10
GUO Hengze, WANG Lei. Design of interactive genetic algorithm intelligent composition system [J]. Microcomputer Applications 2017, 33(2): 10. DOI: 10.3969/j.issn.1007 - 757 X. 2017. 02. 003
- [4] 林舜成. 双轴 LSTM 神经网络与混沌理论在音乐生成系统中的研究与应用 [D]. 广州: 华南理工大学, 2017: 7
LIN Shuncheng. Research and application of biaxial LSTM neural network and chaos theory in music generation system [D]. Guangzhou: South China University of Technology, 2017: 7
- [5] HERREMANS D, CHEW E. MorpheuS: Automate music generation with recurrent pattern constraints and tension profiles [C]// Proceedings of IEEE Region 10 Conference (TENCON)-Proceedings of the International Conference. Singapore: IEEE, 2016. DOI: 10.1109/TENCON.2016.7848007
- [6] ROBERTS A, ENGEL J, RAFFEL C, et al. A hierarchical latent vector model for learning long-term structure in music [EB/OL]. (2018-06-26). <https://arxiv.org/abs/1803.05428v3>
- [7] COLOMBO F, GERSTNER W. Bachprop: Learning to compose music in multiple styles [EB/OL]. (2018-02-20). <https://arxiv.org/abs/1802.05162>
- [8] MOGRE O. C-RNN-GAN: Continuous recurrent neural networks with adversarial training [EB/OL]. (2016-11-29). <https://arxiv.org/abs/1611.09904>
- [9] YANG Lichia, CHOU Szuyu, YANG Yihuan. MidiNet: A convolutional generative adversarial network for symbolic-domain music generation [EB/OL]. (2017-07-18). <https://arxiv.org/abs/1703.10847>
- [10] VAN DEN OORD A, DIELEMAN S, ZEN H, et al. WaveNet: A generative model for raw audio [EB/OL]. (2016-09-29). <https://arxiv.org/abs/1609.03499>
- [11] 黄金潇. 声带振动发音过程机理研究与仿真 [D]. 青岛: 青岛大学, 2017: 21
HUANG Jinxiao. Research and simulation of vocal cord vibration process [D]. Qingdao: Qingdao University, 2017: 21
- [12] 鞠垚. 数字波导方法在声道建模中的应用研究 [D]. 苏州: 苏州大学, 2014: 20
JU Yao. Research on the application of digital waveguide method in channel modeling [D]. Suzhou: Soochow University, 2014: 20
- [13] GINO B, WANG Yuyi. Jambot: Music theory aware chord based generation of polyphonic music with LSTMs [C]//Proceedings of the International Conference on Tools with Artificial Intelligence. Boston: IEEE, 2017: 519. DOI: 10.1109/ICTAI.2017.00085
- [14] HUANRU M, TAYLOR S. DeepJ: Style-specific music generation [C]//Proceedings of the 12th IEEE International Conference on Semantic Computing. California: IEEE, 2018: 377. DOI: 10.1109/ICSC.2018.00077
- [15] EIGENFELDT A, BOWN O, BROWN A. Flexible generation of musical form: Beyond mere generation [C]//Proceedings of the 7th International Conference on Computational Creativity. Paris: IEEE, 2016: 264
- [16] SCIREA M, TOGELIUS J, EKLUND P. Metacompose: A compositional evolutionary music composer [C]//Proceedings of the International Conference on Evolutionary and Biologically Inspired Music, Sound, Art and Design. Amsterdam: LNCS, 2016: 202. DOI: 10.1007/978 - 3 - 319 - 31008 - 4_14
- [17] LYU Qi, WU Zhiyong, ZHU Jun. Modelling high-dimensional sequences with LSTM-RTRBM: Application to polyphonic music generation [C]//Proceedings of the 24th International Conference on Artificial Intelligence. Buenos Aires: ACM, 2015: 4138
- [18] JOHNSON D. Generating polyphonic music using tied parallel networks [J]. Computational Intelligence in Music, Sound, Art and Design, EvoMUSART 2017, 2017: 128
- [19] EITA N, KATSUTOSHI I, KAZUYOSHI Y. Rhythm transcription of MIDI performances based on hierarchical bayesian modelling of repetition and modification of musical note patterns [C]//Proceedings of the 24 th European Signal Processing Conference. Budapest: 2016: 1946. DOI: 10.1109/EUSIPCO.2016.7760588
- [20] ARAN V, ANDREI D. Evolutionary algorithm based composition of hybrid-genre melodies using selected feature sets [C]//Proceedings of 9th International Workshop on Computational Intelligence and Applications. Hiroshima: ACM, 2016: 51. DOI: 10.1109/IWCIA.2016.7805748
- [21] MCVICAR M, FUKAYAMA S, GOTO M. Automatic generation of guitar solo phrases in the tablature space [C]//Proceedings of 2014 12th International Conference on Signal Processing (ICSP). Piscataway: IEEE, 2014: 599. DOI: 10.1109/ICOSP.2014.7015074

(编辑 苗秀芝)